

Déformation Membrane Circulaire

par
MEZACHE Yedhir
ZHANG Xunjie
pour le DM de l'UE éléments finis M1

fait le 12 novembre 2016

Table des matières

1	Introduction	3
1.1	Problème physique	3
1.2	Objectif	3
1.3	Procédure	4
2	Evolution du problème	5
2.1	Equation equilibre et conditions limites	5
2.2	Evolution du fonction	6
2.2.1	Fomulation faible	6
3	Approximation élément finis	7
3.1	Système matricielle	7
3.2	Interpolation polynôme degré 2	7
3.2.1	Fonction de base	7
3.2.2	Fonction de forme	8
3.3	Assemblage	9
3.3.1	Assemblage de A	9
3.3.2	Assemblage de B	10
3.4	Conditions limites	11
4	Résultat	12
4.1	Programme Matlab	12
4.2	Cas 1	12
4.2.1	Solution analytique	12
4.2.2	Résultat graphique	12
4.2.3	Erreur	18
4.3	Cas 2	19
4.3.1	Solution analytique	19
4.3.2	Résultat graphique	19
4.3.3	Erreur	23
5	Conclusion	24

Table des figures

1.1	Schéma indiquant la membrane du rayon R par $f(r)$	3
2.1	élémentaire	5
2.2	fonction statique	5
3.1	Schéma fonction de base	8
3.2	Schéma changement de variable par élément de référence	8
4.1	fonction de forme et sa dérivé cas 1 P^1	13
4.2	fonction de forme et sa dérivé cas 1 P^2	13
4.3	fonction de forme et sa dérivé cas 1 P^3	14
4.4	fonction de forme et sa dérivé cas 1 P^4	14
4.5	fonction de forme et sa dérivé cas 1 P^5	15
4.6	solution exact et solution approximation cas 1 P^1	16
4.7	solution exact et solution approximation cas 1 P^2	16
4.8	solution exact et solution approximation cas 1 P^3	17
4.9	solution exact et solution approximation cas 1 P^4	17
4.10	solution exact et solution approximation cas 1 P^5	18
4.11	erreur cas 1 en fonction de polynôme	19
4.12	solution exact et solution approximation cas 2 P^1	20
4.13	solution exact et solution approximation cas 2 P^2	21
4.14	solution exact et solution approximation cas 2 P^3	21
4.15	solution exact et solution approximation cas 2 P^4	22
4.16	solution exact et solution approximation cas 2 P^5	22
4.17	erreur cas 2 en fonction de polynôme	23

Chapitre 1

Introduction

1.1 Problème physique

Dans le cadre de ce TP de MEF, nous avons étudié la déformation des éléments d'une membrane circulaire de rayon $R = 1$, cette membrane est soumise à une charge $f(r)$ et fixée en $R = 1$. On considère le problème sur $\Omega = [0, 1]$. On représente le problème dans la figure suivante :

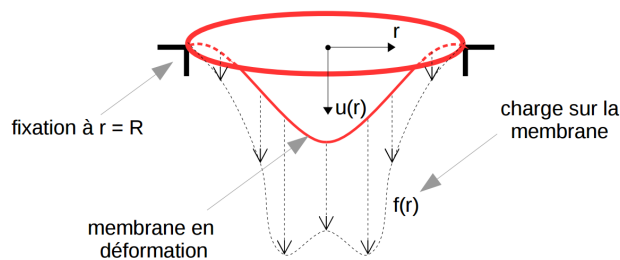


FIGURE 1.1 – Schéma indiquant la membrane du rayon R par $f(r)$

Les conditions limites :

$$\begin{cases} \left. \frac{du}{dr} \right|_{r=0} = 0 \\ u(1) = 0 \end{cases}$$

1.2 Objectif

L'objectif de ce TP est :

- d'utiliser la méthode des éléments finis pour des problèmes physiques en une dimension, ainsi nous allons calculer la déformation d'une membrane simple sous une contrainte symétrique.
- d'apprendre à travailler avec des polynômes de degrés $m \geq 1$ pour les fonctions de formes.
- d'assimiler des calculs simples de programmer le logiciel MATLAB.

1.3 Procédure

Pour commencer , nous faisons l'étude mathématique du modèle et trouvé une solution analytique des déplacements $u(r)$. Par la suite, grâce aux méthodes des éléments finis en 1D, nous avons construit un système linéaire à résoudre avec les outils numériques.

Nous programmons sur Matlab un algorithme permettant de construire les éléments du système à résoudre pour trouver les valeurs approchées de $u(r)$. La résolution de ce système de manière numérique nous a permis de construire cette approximation. Par la suite, nous avons étudié les erreurs relatives et l'effet du changement de la fonction $f(r)$ soumis .

Ce compte-rendu décrit précisément les étapes de résolutions analytiques et numériques. De même, nous y analysons les résultats trouvés.

Chapitre 2

Evolution du problème

2.1 Equation equilibre et conditions limites

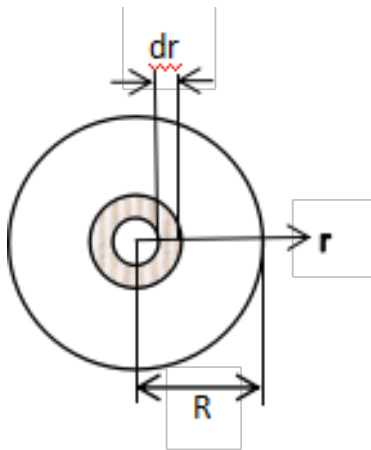


FIGURE 2.1 – elementaire

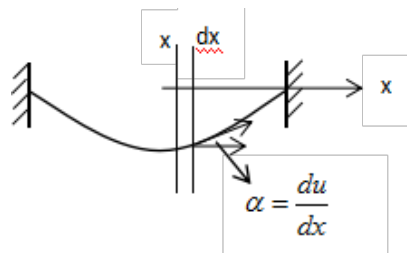


FIGURE 2.2 – fonction statique

Par les figures au-dessus , on a :

$$\frac{1}{r} \frac{d}{dr} \left(r \frac{du}{dr} \right) = f(r) \quad (2.1)$$

avec les conditions limites :

$$\begin{cases} \left. \frac{du}{dr} \right|_{r=0} = 0 \\ u(1) = 0 \end{cases}$$

2.2 Evolution du fonction

2.2.1 Fomulation faible

On pose une fonction test $v(r)$, ensuite on fait intergale à droite et gauche :

$$\int_s \frac{1}{r} \frac{\partial}{\partial r} \left(r \frac{\partial u}{\partial r} \right) v(r) ds = \int_s f(r) v(r) ds \quad (2.2)$$

Dans cette coordonné on traduit que :

$$ds = r dr d\theta$$

On a :

$$\int_0^1 \frac{\partial}{\partial r} \left(r \frac{\partial u}{\partial r} \right) v(r) dr = \int_0^1 r f(r) v(r) dr \quad (2.3)$$

On fait IPP :

$$\left[r \frac{\partial}{\partial r} v(r) \right]_0^1 - \int_0^1 r \frac{\partial u}{\partial r} \frac{\partial v}{\partial r} dr = \int_0^1 r f(r) v(r) dr \quad (2.4)$$

On etude le terme $\left[r \frac{\partial}{\partial r} v(r) \right]_0^1$ avec les conditions limites :

$$\begin{cases} \frac{du}{dr} \Big|_{r=0} &= 0 \\ v(1) &= \delta u(1) = 0 \end{cases}$$

et on trouver :

$$\left[r \frac{\partial}{\partial r} v(r) \right]_0^1 = 0 \quad (2.5)$$

Donc , on réussit la formulation faitble :

Trouvez $u(r)$ tel que : $u(1) = 0$, $\frac{\partial u(0)}{\partial r} = 0$

$$\int_0^1 r \frac{\partial u}{\partial r} \frac{\partial v}{\partial r} dr = \int_0^1 -r f(r) v(r) dr \quad (2.6)$$

$\forall v(r)$ telque $v(1) = 0$

Chapitre 3

Approximation élément finis

On étudie le problème par des interpolations polynômes de degré 1, 2, 3, 4, 5 sur un élément, dans ce compte-rendu, parce que les procédures sont similaires, je choisis polynôme de degré 2 et N éléments :

3.1 Système matricielle

La solution approchée u^h peut-être écrite sous la forme $\sum_{k=0}^N a_k \phi_k$ on pose fonction test v^h

$$u^h(r) = \sum_{k=0}^N a_k \phi_k \quad (3.1)$$

$$v^h(r) = \phi_1 \phi_2 \phi_k \cdots \phi_N \quad (3.2)$$

Donc la formulation faible s'écrit sous le système linéaire n inconnues :

$$\sum_{j=1}^N \left(\int_0^1 r \frac{\partial \phi_j}{\partial r} \frac{\partial \phi_i}{\partial r} dr \right) u_j = \int_0^1 -r f(r) \phi_i dr \quad (3.3)$$

et donc on trouve la forme générale du système matricielle $A_{ij} a_j = B_i$ permettant de calculer la solution approchée u^h :

$$\sum_{j=1}^N A_{ij} u_j = B_i \quad (3.4)$$

3.2 Interpolation polynôme de degré 2

3.2.1 Fonction de base

longueur d'élément :

$$h = \frac{1}{N}$$

et on définis R_k est longueur au centre :

$$R_k = \frac{1}{N}(k - 1)$$

Pour des interpolations polynôme degré 2 , les fonctions de bases sont paraboliques , pour ϕ_{n1} il est 1 en $n1$, et 0 pour les autres , pour ϕ_{n2} il est 1 en $n2$, et 0 pour les autres ,pour ϕ_{n3} il est 1 en $n3$, et 0 pour les autres . On presente les fonctions de bases dans le figuresuivante ansique l'élément .

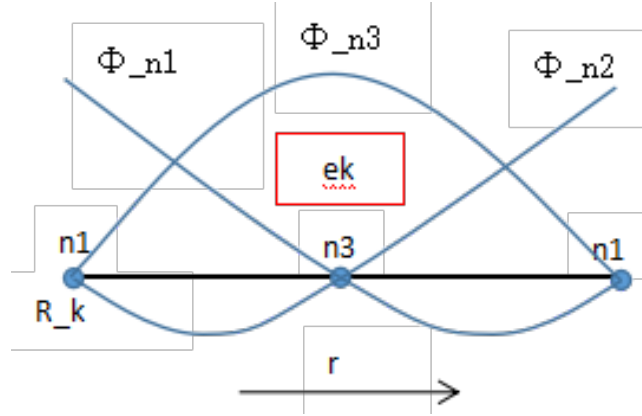


FIGURE 3.1 – Schéma fonction de base

$$\phi(r) = ar^2 + br + c$$

3.2.2 Fonction de forme

On change de variable par élément de référence :

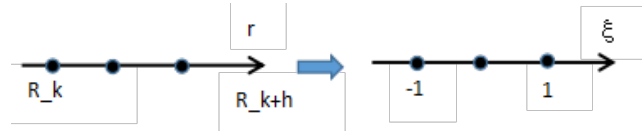


FIGURE 3.2 – Schéma changement de variable par élément de regérence

$$r = a\xi + b$$

On cherche la relation entre r et ξ :

$$\begin{cases} R_k = -a + b \\ R_k + h = a + b \end{cases}$$

et on trouve relation entre les deux :

$$r = R_k + \frac{h}{2}(\xi + 1) \quad (3.5)$$

$$dr = \frac{h}{2}d\xi \quad (3.6)$$

et on vérifie :

$$\xi = 0, r = R_k + \frac{h}{2}$$

Sur élément k , on a trois fonctions de base $\phi_{n1} \phi_{n2} \phi_{n3}$, donc on a trois fonction de forme dans la référence élémentaire : $N_1(\xi) N_2(\xi) N_3(\xi)$:

$$\begin{cases} \phi_{n1}(r) = N_1(\xi) \\ N_1(-1) = 1 \\ N_1(0) = 0 \\ N_1(1) = 0 \end{cases} \begin{cases} \phi_{n2}(r) = N_2(\xi) \\ N_2(-1) = 0 \\ N_2(0) = 0 \\ N_2(1) = 1 \end{cases} \begin{cases} \phi_{n3}(r) = N_3(\xi) \\ N_3(-1) = 0 \\ N_3(0) = 1 \\ N_3(1) = 0 \end{cases} \quad (3.7)$$

Après calcul, on a :

$$\begin{cases} N_1 = \frac{1}{2}\xi(\xi - 1) \\ N_2 = \frac{1}{2}\xi(\xi + 1) \\ N_3 = 1 - \xi^2 \end{cases} \quad (3.8)$$

3.3 Assemblage

Dans cette TP, on prend seulement une élément, donc $R_k = 0$

3.3.1 Assemblage de A

On prend élément k :

$$A_{pq}^k = \int_{R_k}^{R_k+h} r \frac{\partial \phi_q}{\partial r} \frac{\partial \phi_p}{\partial r} dr \quad (3.9)$$

On change fonction ϕ par fonction N , au début, on comprend quelques détails :

$$dr = \frac{h}{2} d\xi$$

$$\frac{\partial \phi_{np}}{\partial r} = \frac{2}{h} \frac{\partial N_p}{\partial \xi}$$

Ensuite, on a A_{pq}^k en fonction N :

$$A_{pq}^k = \int_{-1}^1 \left(R_k + \frac{h}{2}(\xi + 1) \right) \frac{\partial N_q}{\partial \xi} \frac{\partial N_p}{\partial \xi} \frac{2}{h} d\xi \quad (3.10)$$

ou encore :

$$A_{pq}^k = \int_{-1}^1 (\xi + 1) \frac{\partial N_q}{\partial \xi} \frac{\partial N_p}{\partial \xi} d\xi \quad (3.11)$$

On pose $\widehat{CK} = \int_{-1}^1 (\xi + 1) \frac{\partial N_q}{\partial \xi} \frac{\partial N_p}{\partial \xi} d\xi$ qui son tdeux matrice 3×3 symétrique :

$$\widehat{CK} = \begin{bmatrix} \widehat{CK}_{11} & \widehat{CK}_{12} & \widehat{CK}_{13} \\ \widehat{CK}_{21} & \widehat{CK}_{22} & \widehat{CK}_{23} \\ \widehat{CK}_{31} & \widehat{CK}_{32} & \widehat{CK}_{33} \end{bmatrix}$$

On cherche le premiere élément des matrices :

$$\widehat{CK}_{11} = \int_{-1}^1 (\xi + 1) \frac{\partial N_1}{\partial \xi} \frac{\partial N_1}{\partial \xi} d\xi = \int_{-1}^1 (\xi - \frac{1}{2})^2 d\xi = \frac{1}{2} \quad (3.12)$$

On fait tous les calculs et on a \widehat{CK} :

$$\widehat{CK} = \begin{bmatrix} \frac{1}{2} & \frac{1}{6} & -\frac{2}{3} \\ \frac{1}{6} & \frac{11}{6} & -2 \\ -\frac{2}{3} & -2 & \frac{8}{3} \end{bmatrix}$$

Donc on trouve la formulation de A_{pq}^k :

$$A_{pq}^k = \begin{bmatrix} \frac{1}{2} & \frac{1}{6} & -\frac{2}{3} \\ \frac{1}{6} & \frac{11}{6} & -2 \\ -\frac{2}{3} & -2 & \frac{8}{3} \end{bmatrix}$$

On calcul lamatrice A_{ij}^1 :

A_{11}^1	A_{13}^1	A_{12}^1
A_{31}^1	A_{33}^1	A_{32}^1
A_{21}^1	A_{23}^1	A_{22}^1

3.3.2 Assemblage de B

On cherche expression d'élément k de B

$$B_p^k = \int_{R_k}^{R_k+h} -r f(r) \phi_{np}(r) dr = \int_{-1}^1 -\frac{h}{2} \left(R_k + \frac{h}{2}(\xi + 1) \right) f(\xi) N_p(\xi) d\xi \quad (3.13)$$

$$B_p^k = \frac{h^2}{4} \int_{-1}^1 -(\xi + 1) f(\xi) N_p(\xi) d\xi \quad (3.14)$$

Il y a deux cas pour $f(r)$, donc on peut trouver 2 assemblages élémentaires pour :

Cas1

La charge $f(r)$ est en expression au-dessous :

$$f(r) = 1 - r^4 \quad (3.15)$$

$$f(\xi) = 1 - \left(R_k + \frac{h}{2}(\xi + 1) \right)^4 \quad (3.16)$$

et on pose $a = \frac{1}{2}$ et $b = R_k = 0$, on a :

$$B_1^1 = \frac{33}{8960}$$

Vous pouvez trouver le résultat sur web au-dessous :

[click here](#)

On utilise même façon à pour trouver les autres :

$$B_2^1 = \frac{31}{8960}$$

$$B_3^1 = \frac{31}{4480}$$

Cas2

La charge $f(r)$ est en expression au-dessous :

$$f(r) = f_0 \Pi(r_0 - r) \quad (3.17)$$

$$f(\xi) = 94 \Pi \left(0.47 - R_k + \frac{h}{2} (\xi + 1) \right) \quad (3.18)$$

Il est un peu compliqué , on trouve les résultats dans le même web que cas 1 :

$$B_2^1, B_1^1, B_3^1$$

On calcul la matrices B_i^N :

B_1^1
B_3^1
A_2^1

3.4 Conditions limites

On représente les conditions limites :

$$\begin{cases} \left. \frac{du}{dr} \right|_{r=0} &= 0 \\ u(1) &= 0 \end{cases}$$

On applique les conditions limites sur les deux matrices , il nous faut changer quelques éléments de A et B en nuls puisque u_j on fait ça dans le programme

Chapitre 4

Résultat

4.1 Programme Matlab

Dans l'autre document déposant , vous pouvez trouver le programme de Matlab .

4.2 Cas 1

4.2.1 Solution analytique

La charge $f(r)$ est en expression au-dessous :

$$f(r) = 1 - r^4 \quad (4.1)$$

L'équation équilibre :

$$\frac{1}{r} \frac{d}{dr} \left(r \frac{du}{dr} \right) = 1 - r^4 \quad (4.2)$$

avec les conditions limites :

$$\begin{cases} \left. \frac{du}{dr} \right|_{r=0} &= 0 \\ u(1) &= 0 \end{cases}$$

Donc la solution exact :

$$u(r) = \frac{1}{36}(-8 + 9r^2 - r^6)$$

4.2.2 Résultat graphique

Commentaire pour 5 fonction forme et sa dérivé

On a les 5 figures des fonctions formes et dérivés qui sont trouvés dans les figure 4.1 , 4.2 , 4.3 , 4.4 , 4.5 . Pour polynôme m , on a $m + 1$ fonction de forme sous la expression en polynôme degré m , et pour la dérivé de fonction de forme , on a $m + 1$ dérivé de fonction de forme sous la expression en polynôme degré $m - 1$

On présente les fonctions formes N et sa dérivation dN :

P^1 fonction forme

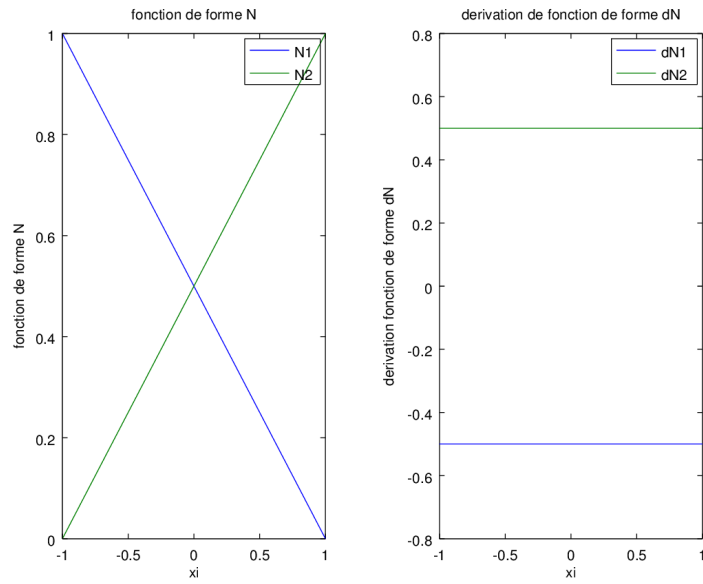


FIGURE 4.1 – fonction de forme et sa dérivé cas 1 P^1

P^2 fonction forme

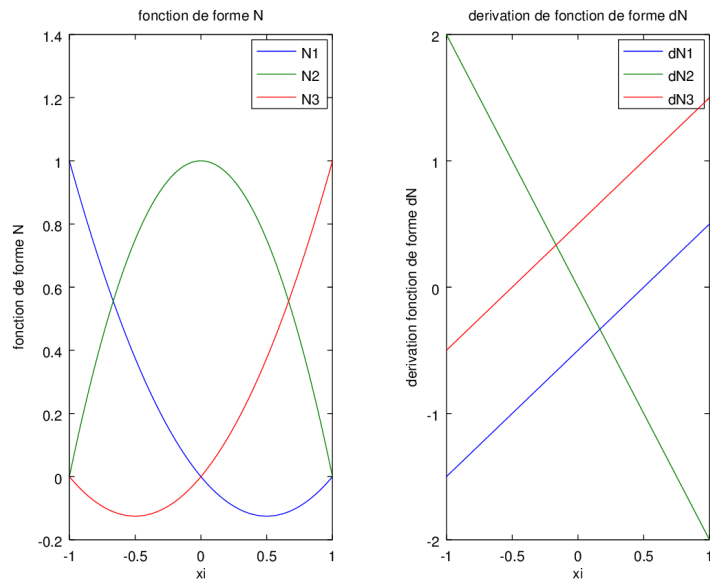


FIGURE 4.2 – fonction de forme et sa dérivé cas 1 P^2

P^3 fonction forme

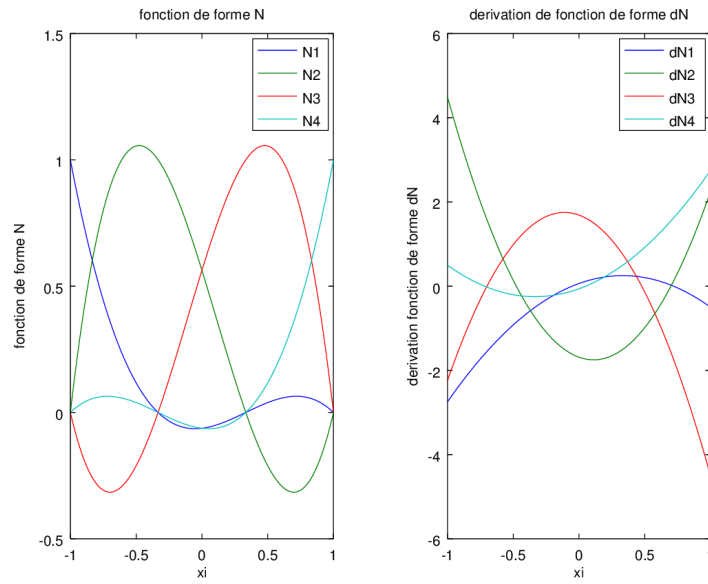


FIGURE 4.3 – fonction de forme et sa dérivé cas 1 P^3

P^4 fonction forme

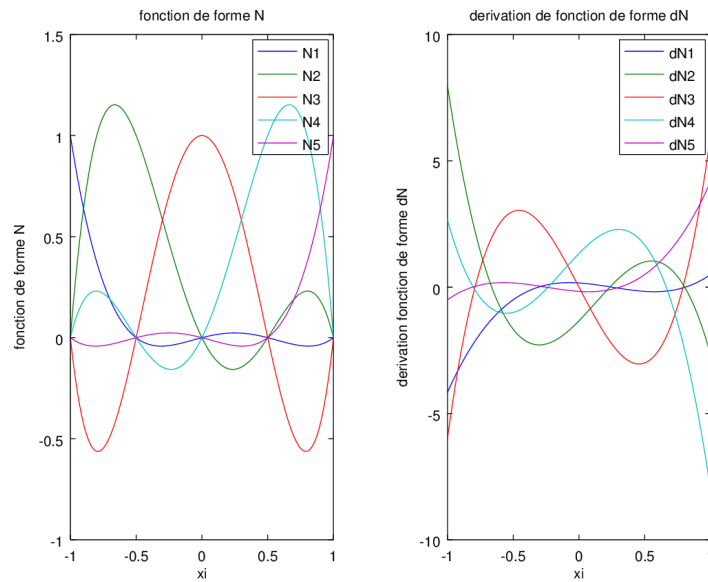


FIGURE 4.4 – fonction de forme et sa dérivé cas 1 P^4

P^5 fonction forme

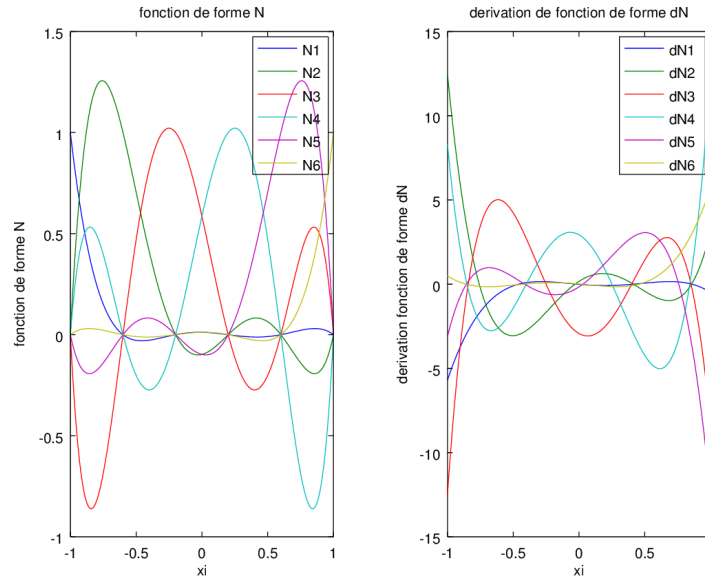


FIGURE 4.5 – fonction de forme et sa dérivé cas 1 P^5

Commentaire pour solution approximation cas 1

On a les 5 figures de solution approximation pour cas 1 qui sont trouvés dans les figure 4.6 , 4.7 , 4.8 , 4.9 , 4.10 . Les grandes points rouges sont les solutions de u_j , la ligne bleue est solution exact , la ligne rouge pointillé est solutions approximations . P^m est polynôme degré m , par les figures , on peut dire que quand m augement , la solution apprximation est plus prochée que la solution exact .

P^1 solution exact et approximation

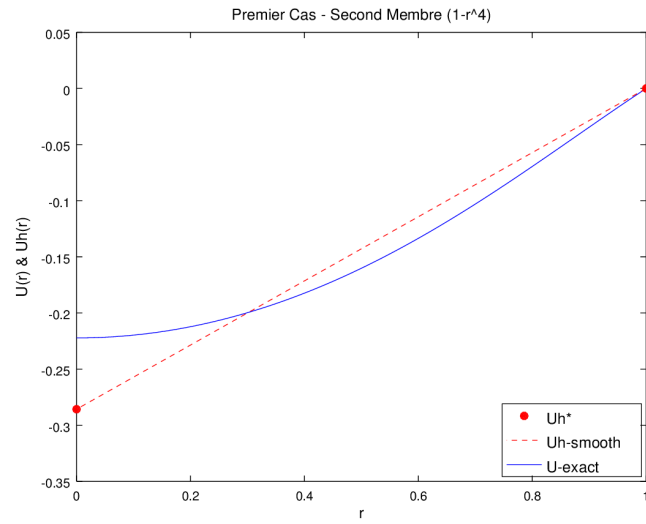


FIGURE 4.6 – solution exact et solution approximation cas 1 P^1

P^2 solution exact et approximation

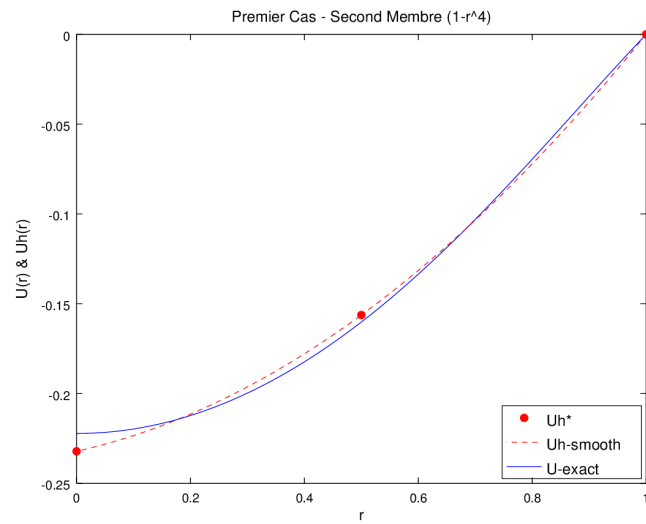


FIGURE 4.7 – solution exact et solution approximation cas 1 P^2

P^3 solution exact et approximation

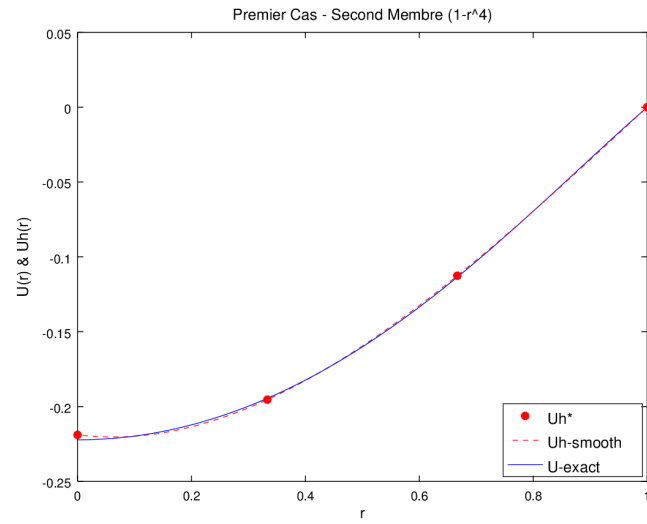


FIGURE 4.8 – solution exact et solution approximation cas 1 P^3

P^4 solution exact et approximation

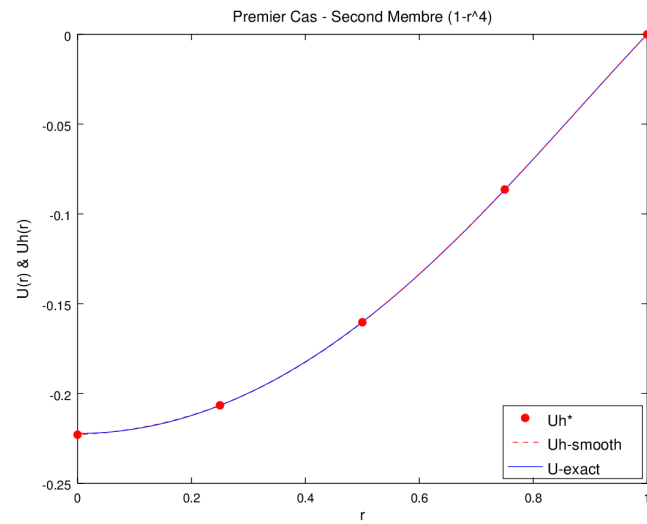


FIGURE 4.9 – solution exact et solution approximation cas 1 P^4

P^5 solution exact et approximation

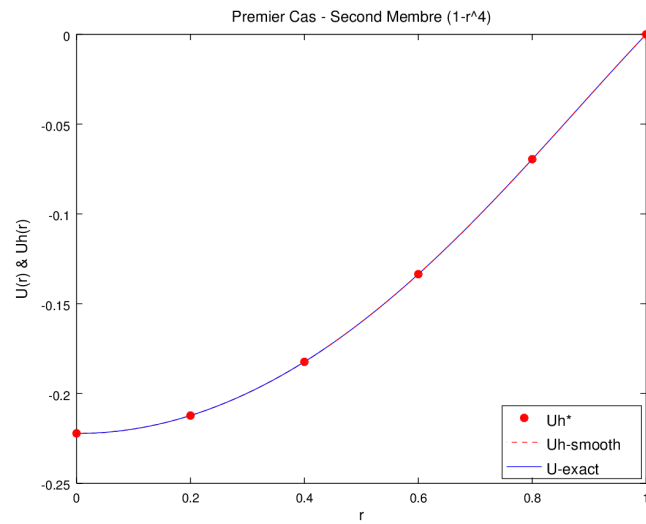


FIGURE 4.10 – solution exact et solution approximation cas 1 P^5

4.2.3 Erreur

commentaire

Vous pouvez trouver la figure d'erreur pour cas 1, en fonction du degré du polynôme m , on se trouve quand m augmente, l'erreur diminue. Quand $m = 5$ l'erreur est nulle, les deux solutions presque sont pareilles.

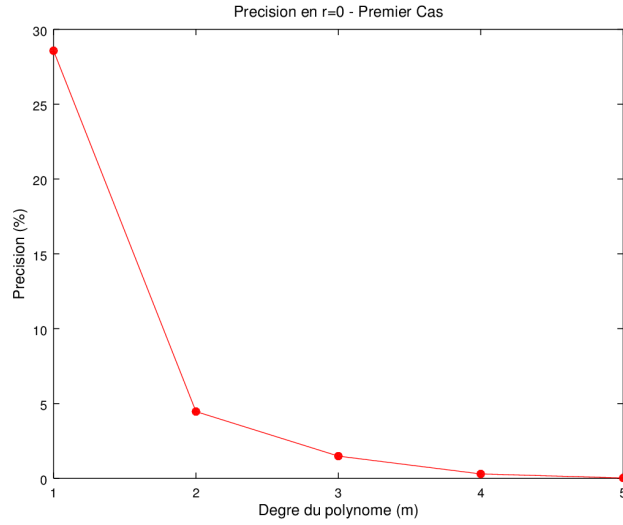


FIGURE 4.11 – erreur cas 1 en fonction de polynôme

4.3 Cas 2

4.3.1 Solution analytique

La charge $f(r)$ est en expression au-dessous :

$$f(r) = f_0 \Pi(r_0 - r) \quad (4.3)$$

On a deux paramètres $f_0 = 94$, $r_0 = .047$, l'équation d'équilibre est :

$$\frac{1}{r} \frac{d}{dr} \left(r \frac{du}{dr} \right) = 94 \Pi(0.47 - r) \quad (4.4)$$

avec les conditions limites :

$$\begin{cases} \left. \frac{du}{dr} \right|_{r=0} = 0 \\ u(1) = 0 \end{cases}$$

Donc la solution exacte :

$$u(r) = \frac{47}{2} (-1 + r^2) \Pi(0.47 - r)$$

4.3.2 Résultat graphique

Les fonctions formes sont pareilles que cas 1.

Commentaire pour solution approximation cas 2

On a les 5 figures de solution d'approximation pour cas 1 qui sont trouvées dans les figures 4.12, 4.13, 4.14, 4.15, 4.16. Les grands points rouges sont les

solutions de u_j , la ligne bleue est solution exact , la ligne rouge pointillé est solutions approximations . P^m est polynôme degré m , par les figures , on peut dire que quand m augmente , la solution approximation est plus proche que la solution exact .

P^1 solution exact et approximation

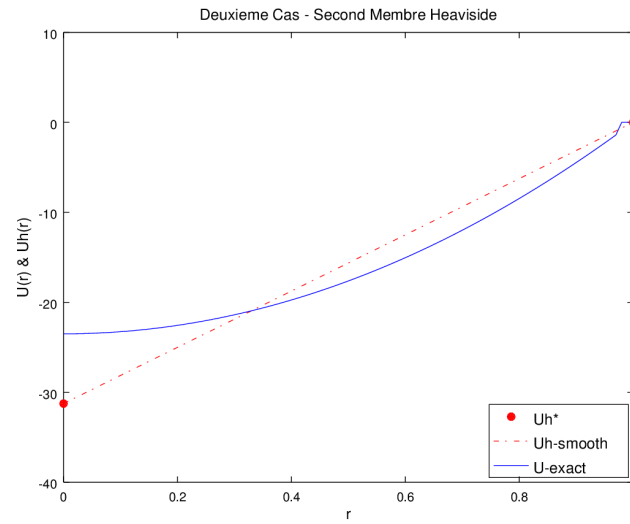


FIGURE 4.12 – solution exact et solution approximation cas 2 P^1

P^2 solution exact et approximation

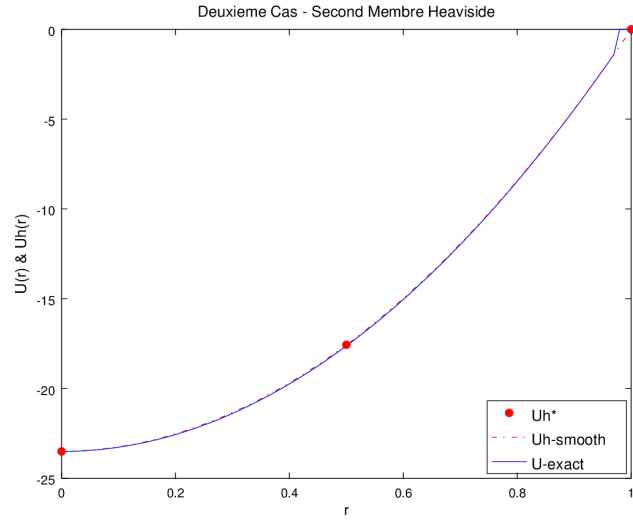


FIGURE 4.13 – solution exact et solution approximation cas 2 P^2

P^3 solution exact et approximation

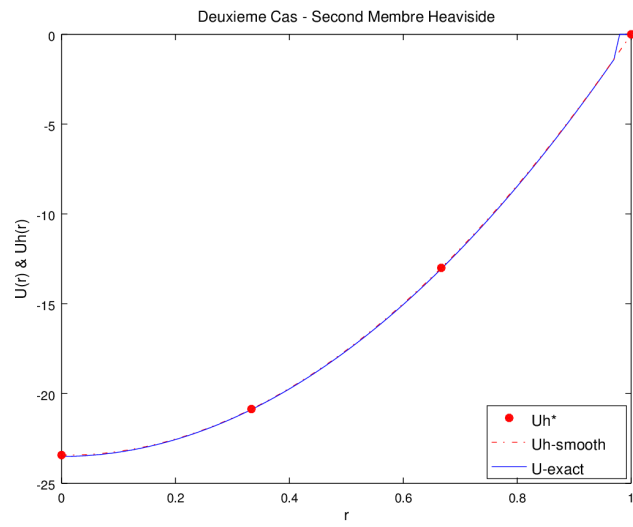


FIGURE 4.14 – solution exact et solution approximation cas 2 P^3

P^4 solution exact et approximation

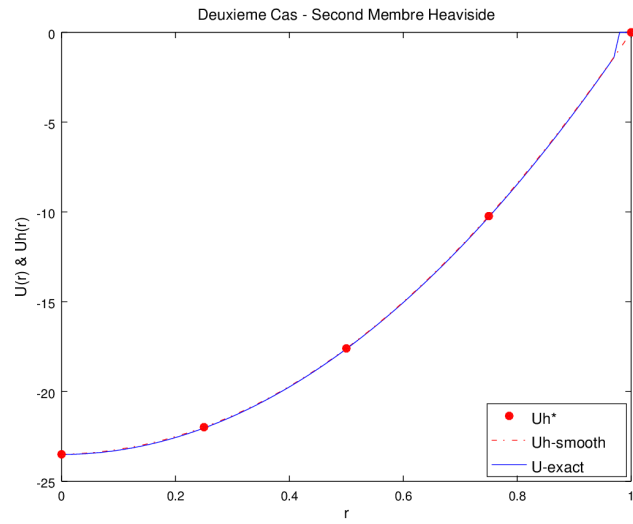


FIGURE 4.15 – solution exact et solution approximation cas 2 P^4

P^5 solution exact et approximation

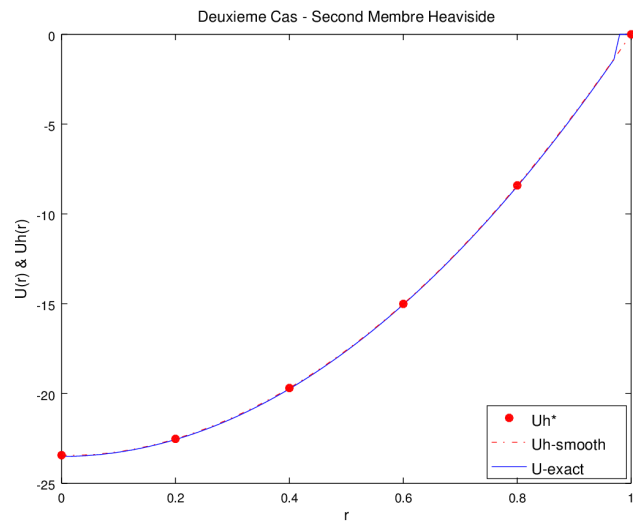


FIGURE 4.16 – solution exact et solution approximation cas 2 P^5

4.3.3 Erreur

commentaire

Vous pouvez trouver la figure d'erreur ,en fonction de degré du polynôme m , on se trouve quand m augmente , l'erreur diminue . Quand $m = 5$ l'erreur est nulle , les deux solution presque sont pareilles .

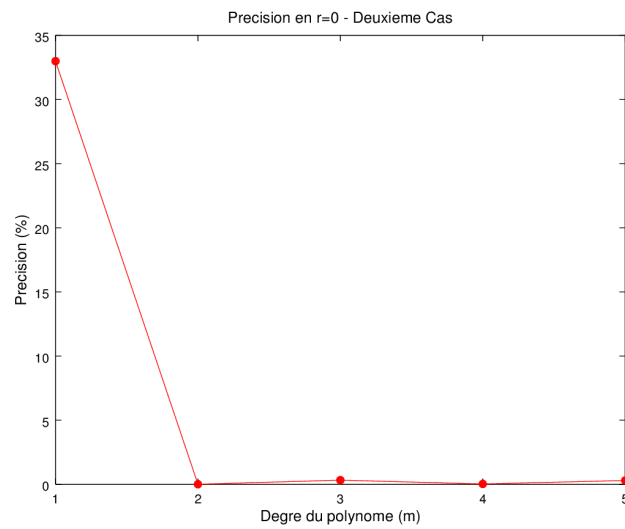


FIGURE 4.17 – erreur cas 2 en fonction de polynôme

Chapitre 5

Conclusion

Dans ce séance de TP , nous avons étudié le modèle vibratoire d'une membrane . Grâce à une étude statique, nous avons pu établir un modèle vibratoire de la structure et simuler son comportement avec des paramètres physiques et des conditions initiales différentes.

Nous avons trouvé que quand on augmente le degré du polynôme d'approximation , la solution u^h est plus proche que solution exact u_e . Dans le cas 1 , on trouve quand le degré est 5 , la solution approximation est presque pareille que la solution exact .

Pour différent charges extérieursur la membrane , on trouver différent solutions approximations .

Pour conclure, nous pouvons dire que ce TP nous aura permis, en équipe, de mettre en pratique la théorie sur les modèles vibratoire et l'élément finis . N'oublions pas non plus que la membrane a été considéré comme indéformable ce qui ne peut être le cas dans la réalité.